

## МАТЕМАТИЧЕСКОЕ МОДЕЛИРОВАНИЕ СОПРЯЖЕННОГО ТЕПЛОМАССОПЕРЕНОСА В ГАЗОВОЙ ПОЛОСТИ

Г. В. Кузнецов<sup>1</sup>, М. А. Шеремет<sup>2</sup>

<sup>1</sup> Теплоэнергетический факультет, Томский политехнический университет, Томск, Россия

<sup>2</sup> Механико-математический факультет, Томский государственный университет, Томск, Россия

*Проведено математическое моделирование сопряженного теплопереноса в прямоугольной области с локальным источником тепловыделения в условиях конвективно-радиационного теплообмена с внешней средой. Математическая модель сформулирована в безразмерных переменных “функция тока – вектор завихренности скорости – температура – концентрация”. Краевая задача решена численно методом конечных разностей. Анализ проведен в широком диапазоне изменения определяющих безразмерных комплексов:  $10^4 \leq Gr \leq 10^7$ ,  $10^2 \leq Re \leq 10^3$ ,  $Bgr = -5, 1, 5$ . Получены распределения термодинамических и диффузионных параметров, характеризующие существенные особенности исследуемого процесса. Установлены масштабы влияния внутреннего массопереноса на интегральные и локальные термические характеристики.*

### Введение

Анализ взаимного влияния конвективного теплопереноса в газовой полости и кондуктивной теплопередачи в элементах твердого материала при наличии внутреннего массопереноса имеет широкие практические приложения (радиоэлектронная аппаратура и электронная техника [1, 2], строительные сооружения [3, 4], технологические резервуары в химической промышленности [5]).

Целью настоящей работы является математическое моделирование сопряженного конвективно-кондуктивного теплопереноса в области (рис. 1), содержащей источники тепло и массовыделения, в условиях конвективно-радиационного теплообмена с внешней средой.

### Математическая модель

Рассматривается краевая задача нестационарного сопряженного теплопереноса для области, представленной на рис. 1. Область решения включает как элементы твердого материала, имеющие различные размеры и теплофизические характеристики, так и газовую полость с источниками тепла и примеси. В полость подается поток газа (8 на рис. 1), содержащий некоторую примесь максимальной концентрации. Через отверстие (9 на рис. 1) происходит выход газовых масс. В зоне входного отверстия находится локальный источник примеси, концентрация в котором, также как и температура на источнике тепловыделения, остается постоянной в течение всего процесса. Горизонтальные стенки ( $y = 0$ ,  $y = L_y$ , где  $L_y$  – размер рассматриваемой области решения по оси  $y$ ) и вертикальная стенка ( $x = L_x$ , где  $L_x$  – размер рассматриваемой области решения по оси  $x$ ), образующие газовую полость, предполагаются теплоизолированными с наружной стороны. На границе  $x = 0$  осуществляется конвективно-радиационный теплообмен с окружающей средой.

Предполагается, что теплофизические свойства элементов твердого материала и газа не зависят от температуры, а режим течения является ламинарным. Газ считается ньютоновской жидкостью, несжимаемой и удовлетворяющей приближению Буссинеска. Движение газа и теплоотдача во внутреннем объеме принимаются плоскими, теплообмен излучением от источника тепловыделения и между стенами – пренебрежимо малым по сравнению с конвективным теплообменом, газ абсолютно

прозрачным для теплового излучения. Также предполагается, что члены в уравнении энергии, характеризующие вязкую диссипацию и работу сил давления, пренебрежимо малы. Эффекты второго порядка (диффузионный термоэффект и термодиффузия) также не учитываются.

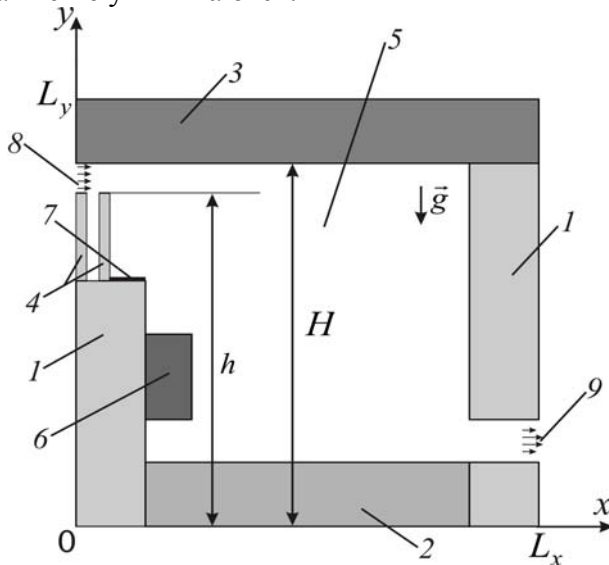


Рис. 1. Область решения рассматриваемой задачи: 1, 2, 3, 4 – элементы твердого материала; 5 – газовая полость; 6 – источник тепловыделения; 7 – источник примеси, 8 – входное отверстие; 9 – выходное отверстие

выбрана длина рассматриваемой области решения по оси  $x$ . Для приведения к безразмерному виду системы уравнений использовались следующие соотношения:

$$X = \frac{x}{L_x}, \quad Y = \frac{y}{L_y}, \quad \tau = \frac{t}{t_0}, \quad U = \frac{u}{V_{in}}, \quad V = \frac{v}{V_{in}}, \quad \Theta = \frac{T - T_0}{T_{hs} - T_0},$$

$$\xi = \frac{C - C_0}{C_{cs} - C_0}, \quad \Psi = \frac{\psi}{\psi_0}, \quad \Omega = \frac{\omega}{\omega_0},$$

при  $\psi_0 = V_{in} L_x$ ,  $\omega_0 = V_{in} / L_x$ ;

где  $x, y$  – координаты декартовой системы координат;  $X, Y$  – безразмерные координаты, соответствующие координатам  $x, y$ ;  $t$  – время;  $t_0$  – масштаб времени;  $\tau$  – безразмерное время;  $u, v$  – составляющие скорости в проекции на оси  $x, y$  соответственно;  $U, V$  – безразмерные скорости, соответствующие скоростям  $u, v$ ;  $V_{in}$  – масштаб скорости (скорость потока на входе в полость);  $\Theta$  – безразмерная температура;  $T_0$  – начальная температура в области решения;  $T_{hs}$  – температура на источнике тепловыделения;  $\xi$  – безразмерная концентрация примеси;  $C_0$  – начальная концентрация в области решения;  $C_{cs}$  – концентрация примеси на источнике примеси;  $\psi$  – функция тока;  $C_{in} = C_{cs}$  – концентрация примеси на входе в полость;  $\psi_0$  – масштаб функции тока;  $\Psi$  – безразмерный аналог функции тока;  $\omega$  – вихрь скорости;  $\omega_0$  – масштаб вектора вихря;  $\Omega$  – безразмерный аналог вектора вихря.

Безразмерные уравнения сопряженного тепломассопереноса:

➤ для газа (5 на рис. 1)

$$\frac{\partial \Omega}{\partial \tau} + \frac{\partial \Psi}{\partial Y} \frac{\partial \Omega}{\partial X} - \frac{\partial \Psi}{\partial X} \frac{\partial \Omega}{\partial Y} = \frac{1}{\text{Re}} \left( \frac{\partial^2 \Omega}{\partial X^2} + \frac{\partial^2 \Omega}{\partial Y^2} \right) + \frac{\text{Gr}}{\text{Re}^2} \left( \frac{\partial \Theta}{\partial X} + \text{Br} \frac{\partial \xi}{\partial X} \right), \quad (1)$$

В такой постановке процесс переноса тепла и массы в рассматриваемой области (рис. 1) описывается системой нестационарных двумерных уравнений конвекции в приближении Буссинеска [6, 7] и уравнением диффузии [3, 4] в газовой полости, а также нестационарным уравнением теплопроводности для элементов твердого материала [8] с нелинейными граничными условиями.

Математическая модель сформулирована в безразмерных переменных “функция тока – вектор завихренности скорости – температура – концентрация”. В качестве масштаба расстояния

$$\Delta\Psi = -\Omega, \quad (2)$$

$$\frac{\partial\Theta}{\partial\tau} + \frac{\partial\Psi}{\partial Y} \frac{\partial\Theta}{\partial X} - \frac{\partial\Psi}{\partial X} \frac{\partial\Theta}{\partial Y} = \frac{1}{\text{Re} \cdot \text{Pr}} \left( \frac{\partial^2\Theta}{\partial X^2} + \frac{\partial^2\Theta}{\partial Y^2} \right),$$

$$(3)$$

$$\frac{\partial\xi}{\partial\tau} + \frac{\partial\Psi}{\partial Y} \frac{\partial\xi}{\partial X} - \frac{\partial\Psi}{\partial X} \frac{\partial\xi}{\partial Y} = \frac{1}{\text{Re} \cdot \text{Sc}} \left( \frac{\partial^2\xi}{\partial X^2} + \frac{\partial^2\xi}{\partial Y^2} \right), \quad (4)$$

➤ для элементов твердого материала

$$\frac{1}{\text{Fo}_i} \frac{\partial\Theta_i}{\partial\tau} = \Delta\Theta_i, \quad i = \overline{1,4}. \quad (5)$$

Здесь  $\text{Re} = V_{\text{in}} L_x / \nu$  – число Рейнольдса;  $\text{Gr} = g_y \beta \Delta T L_x^3 / \nu^2$  – число Грасгофа;  $\beta$  – температурный коэффициент объемного расширения;  $g_y$  – составляющая ускорения силы тяжести в проекции на ось  $y$  ( $g_x = 0$ );  $\nu$  – кинематический коэффициент вязкости;  $\text{Gr} = (\beta_c \Delta C) / (\beta \Delta T)$  – параметрический критерий;  $\beta_c = -\frac{1}{\rho} \left( \frac{\partial\rho}{\partial C} \right)_{p,T}$  – диффузионный коэффициент объемного расширения;  $\text{Pr} = \nu / a$  – число Прандтля;  $\text{Sc} = \nu / D$  – число Шмидта;  $D$  – коэффициент диффузии;  $\text{Fo}_i = a_i t_0 / L_x^2$  – число Фурье, соответствующее  $i$ -ой подобласти;  $a_i$  – коэффициент теплопроводности  $i$ -ой подобласти;  $\Delta = \frac{\partial^2}{\partial X^2} + \frac{\partial^2}{\partial Y^2}$  – оператор Лапласа.

Начальные и граничные условия для сформулированной задачи (1)–(5) имеют вид:

**Начальные условия:**

$$\Psi(X, Y, 0) = 0, \quad \Omega(X, Y, 0) = 0,$$

$\Theta(X, Y, 0) = \xi(X, Y, 0) = 0$ , на источнике тепловыделения в течение всего процесса  $\Theta = 1$ , во входном отверстии и на источнике примеси  $\xi = 1$ .

**Граничные условия:**

- на границе  $X = 0$  реализованы условия, учитывающие теплообмен с внешней средой за счет конвекции и излучения

$$\frac{\partial\Theta_i(X, Y, \tau)}{\partial X} = \text{Bi}_i \cdot \Theta_i(X, Y, \tau) - \text{Bi}_i \cdot \Theta_e + Q_i, \quad (6)$$

при  $Q_i = N_i \cdot \left[ \left( \Theta_i(X, Y, \tau) + \frac{T_0}{T_{\text{hs}} - T_0} \right)^4 - \left( \frac{T_e}{T_{\text{hs}} - T_0} \right)^4 \right];$

где  $i = 1, 3, 4, 5$  в соответствии с рис. 1;

- на остальных внешних границах заданы условия теплоизоляции

$$\frac{\partial\Theta_i(X, Y, \tau)}{\partial X^k} = 0, \quad \text{где } X^1 \equiv X, X^2 \equiv Y; \quad i = 1, 2, 3, 5;$$

- на всех участках области решение, где происходит сопряжение материалов с различными теплофизическими характеристиками, выполнялись условия 4-го рода:

$$\Theta_i = \Theta_j, \quad \frac{\partial \Theta_i}{\partial X^k} = \lambda_{j,i} \frac{\partial \Theta_j}{\partial X^k}, \quad i, j = \overline{1, 5}, \quad i \neq j, \quad k = 1, 2;$$

- на входе в полость (зона 8):

для уравнения энергии рассматриваются граничные условия 3 рода (6), для функции тока, завихренности и концентрации:

$$\Psi = Y - \frac{h}{L_x}, \quad \Omega = 0, \quad \xi = 1;$$

- на выходе из полости (зона 9):

$$\frac{\partial \Psi}{\partial X} = \frac{\partial \xi}{\partial X} = \frac{\partial \Omega}{\partial X} = \frac{\partial \Theta}{\partial X} = 0;$$

- на границах твердого материала и газа, параллельных координатным осям  $0X(0Y)$ , кроме  $Y = \frac{H}{L_x}$ :

$$\Psi = 0, \quad \frac{\partial \Psi}{\partial Y(\partial X)} = 0, \quad \frac{\partial \xi}{\partial Y(\partial X)} = 0, \quad \Theta_i = \Theta_5, \quad \frac{\partial \Theta_i}{\partial Y(\partial X)} = \lambda_{5,i} \frac{\partial \Theta_5}{\partial Y(\partial X)}, \quad i = 1, 2, 4;$$

- на границе  $Y = \frac{H}{L_x}$ :

$$\Psi = \frac{H-h}{L_x}, \quad \frac{\partial \Psi}{\partial Y} = 0, \quad \frac{\partial \xi}{\partial Y} = 0, \quad \Theta_3 = \Theta_5, \quad \frac{\partial \Theta_3}{\partial Y} = \lambda_{5,3} \frac{\partial \Theta_5}{\partial Y};$$

здесь  $Bi_i = \alpha L_x / \lambda_i$  – число Био, соответствующее  $i$ -ой подобласти;  $\alpha$  – коэффициент теплообмена между внешней средой и рассматриваемой областью решения;  $T_e$  – температура окружающей среды;  $\Theta_e$  – безразмерная температура окружающей среды;  $N_i = \varepsilon \sigma L_x (\Delta T)^3 / \lambda_i$  – число Старка, соответствующее  $i$ -ой подобласти;  $\varepsilon$  – приведенная степень черноты;  $\sigma$  – постоянная Стефана-Больцмана;  $\lambda_{ij} = \lambda_i / \lambda_j$  – относительный коэффициент теплопроводности;  $\lambda_i$  – коэффициент теплопроводности  $i$ -ой подобласти.

## Метод решения

Задача (1)–(5) с соответствующими граничными и начальными условиями решена методом конечных разностей [9–11] на равномерной сетке (200\*200). Для аппроксимации конвективных слагаемых в эволюционных уравнениях применялась монотонная схема А.А. Самарского [9]. Дискретизация диффузионных членов проводилась с использованием центральных конечных разностей. Значение вихря скорости на границах определялось по формуле Вудса [11–13]. Для численного решения уравнений (1)–(5) применялась локально одномерная схема А.А. Самарского. В этой схеме решение двумерной системы сводится к последовательному решению одномерных систем методом прогонки [11] как систем разностных уравнений с трехдиагональными матрицами. Для разрешения нелинейного граничного условия III рода использовался метод простой итерации.

Представленный метод решения был протестирован на модельной задаче сопряженного теплопереноса в замкнутой области [14, 15]. Сравнение проводилось по средним числам Нуссельта (табл.) на границе раздела газовой полости и твердой стенки.

Таблица. Зависимость среднего числа Нуссельта от числа Грасгофа и от относительного коэффициента теплопроводности

Gr	$\lambda_s/\lambda_f$	[14]	[15]	Present
$10^3$	1	0.877	0.87	0.872
	5		1.02	1.023
	10		1.04	1.046
$10^5$	1	2.082	2.08	2.116
	5		3.42	3.421
	10		3.72	3.781
$10^6$	1	2.843	2.87	3.002
	5		5.89	6.306
	10		6.81	6.935

Результаты, представленные в таблице, наглядно показывают, что используемый метод приводит к достаточно хорошему согласованию с работами других авторов.

### Обсуждение результатов

Численные исследования краевой задачи (1)–(5) с соответствующими начальными и граничными условиями проведены при следующих значениях безразмерных комплексов:  $10^4 \leq Gr \leq 10^7$ ,  $10^2 \leq Re \leq 10^3$ ,  $Pr = Sc = 0.7$ ,  $Br = -5, 1, 5$ . Безразмерные определяющие температуры и концентрации имели следующие значения:  $\Theta_e = -1$ ,  $\Theta_{hs} = 1$ ,  $\Theta_0 = \xi_0 = 0$ ,  $\xi_{in} = 1$ . Основное внимание уделялось анализу влияния чисел Грасгофа (Gr) и Рейнольдса (Re), характеризующих, соответственно, интенсивность источника тепловыделения и внешнее вынужденное течение (или вентиляцию), а также параметрического критерия (Br), описывающего интенсивность источника примеси, на распределения основных характеристик исследуемого процесса.

На рис. 2 представлены локальные термогидродинамические и диффузионные характеристики (линии тока, изотермы и линии постоянной концентрации), соответствующие режимам конвективного теплопереноса  $Gr = 10^5, 10^6, 10^7$ .

В газовой полости (рис. 2,а) в режиме  $Gr = 10^5$  формируется основная конвективная ячейка, появление которой объясняется наличием источника тепловыделения. Между двумя элементами твердого материала (4 на рис. 1) формируются циркуляционные течения, способствующие переносу примеси и энергии в этой зоне. Поле концентрации неизменно связано с внешним вынужденным течением. Перенос пассивной примеси осуществляется как через входное отверстие (8 на рис. 1), так и от источника примеси (7 на рис. 1). Распределение изотерм характеризует охлаждение газовой полости, обусловленное достаточно большой скоростью вынужденного течения. Интересным является направление распространения волны пониженной температуры в элементах твердого материала (4 на рис. 1) – охлаждение этих элементов происходит не за счет теплообмена на границе  $X = 0$ , а за счет интенсивной вынужденной конвекции.

Увеличение числа Грасгофа в 10 раз приводит к росту скорости в центральной конвективной ячейке, а также к увеличению масштабов области, занимаемой этим вихрем. Последнее приводит к своеобразному запираению трубки тока внешнего вынужденного течения. При этом происходит уменьшение масштабов зоны диффузии

примеси вглубь газовой полости (например, линия постоянной концентрации, соответствующая  $\xi = 0.2$ , охватывает меньшую площадь, чем в случае  $Gr = 10^5$ ). Увеличение роли выталкивающей силы приводит к изменению интенсивности теплового факела над источником тепловыделения, что сказывается на увеличении средней температуры в газовой полости.

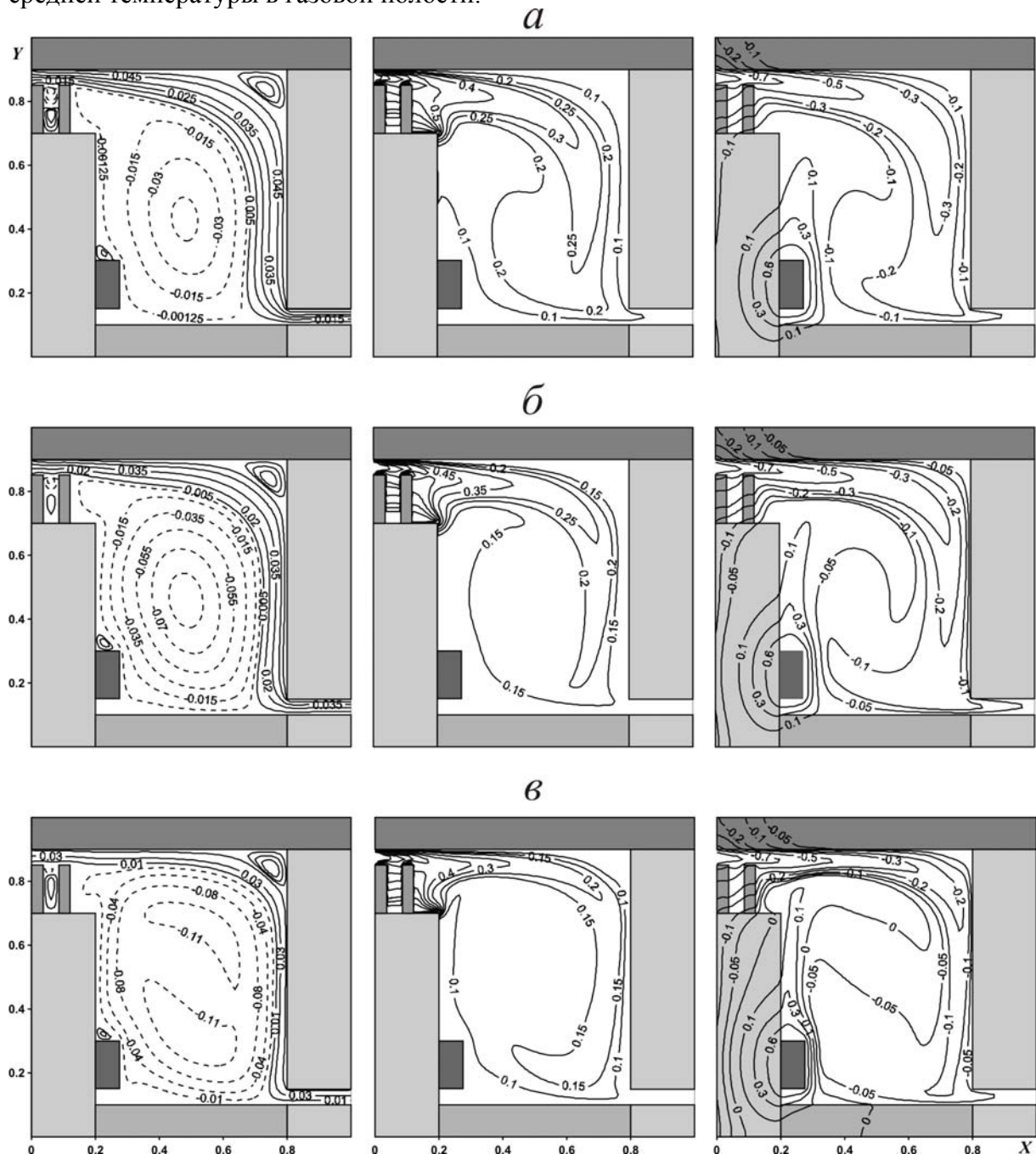


Рис 2. Типичные линии тока  $\Psi$ , поля концентрации  $\xi$  и поля температуры  $\Theta$  при  $Re = 600, Br = 1, \tau = 100$  :  $Gr = 10^5 - a$ ,  $Gr = 10^6 - б$ ,  $Gr = 10^7 - в$

Дальнейший рост числа  $Gr$  приводит к существенной модификации центральной конвективной ячейки – наблюдается распад ядра этого вихря. Скорость газовых масс в центральной ячейки также возрастает. Увеличение размеров этого вихря приводит к существенному доминированию режима естественной конвекции над режимом вынужденной конвекции, что наблюдается как в запирации трубки тока вынужденного

течения, так и в сокращении площадей зон распространения примеси и пониженной температуры.

В дополнение к вышесказанному получены зависимости среднего числа Нуссельта на характерных границах раздела газ–твердое тело от числа Грасгофа и параметрического критерия Br:

$$Nu_{1avg} = \frac{1}{0.75} \int_{0.15}^{0.9} \left| \frac{\partial \Theta}{\partial X} \right|_{X=0.8} dY, \quad Nu_{2avg} = \frac{1}{0.8} \int_{0.2}^{1.0} \left| \frac{\partial \Theta}{\partial Y} \right|_{Y=0.1} dX, \quad Nu_{3avg} = \frac{1}{0.8} \int_{0.0}^{0.8} \left| \frac{\partial \Theta}{\partial Y} \right|_{Y=0.9} dX.$$

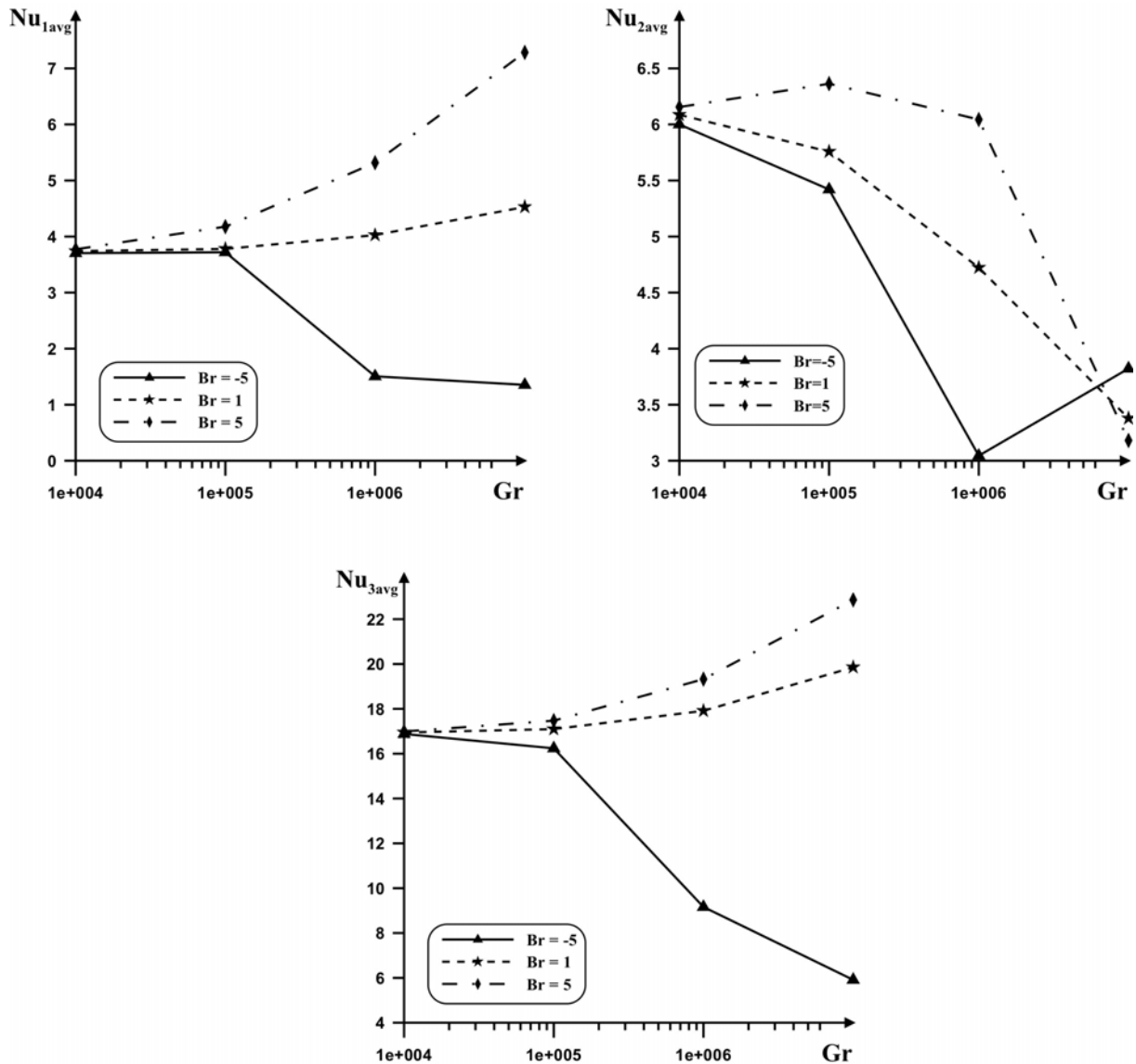


Рис. 3. Зависимость среднего числа Нуссельта от Gr и Br при Re = 600, τ = 100

Уменьшение обобщенного коэффициента теплообмена связано с уменьшением градиента температуры на границе. Например, на границе  $Y = 0.1$  преобладают газовые массы от нисходящих потоков, температура которых незначительно отличается от температуры твердого материала. Рис. 3 также показывает существенное влияние диффузионных эффектов на интенсификацию теплопереноса.

На рис. 4 представлено влияние числа Рейнольдса на поля скорости, температуры и концентрации в режиме соответствующем  $Gr = 10^5$ ,  $Br = 1$ . Увеличение

скорости внешнего вынужденного течения в 3 раза (от  $Re = 300$  до  $Re = 900$ ) приводит к росту масштабов вторичных циркуляционных течений, расположенных в угловых зонах газовой полости. Происходит также более интенсивное проникновение вглубь полости примеси и пониженной температуры. Наблюдается некоторое уменьшение трубки тока вынужденного течения и незначительное увеличение скорости в ядре центральной конвективной ячейки. Тепловой факел деформируется вследствие сопряжения с фронтом пониженной температуры.

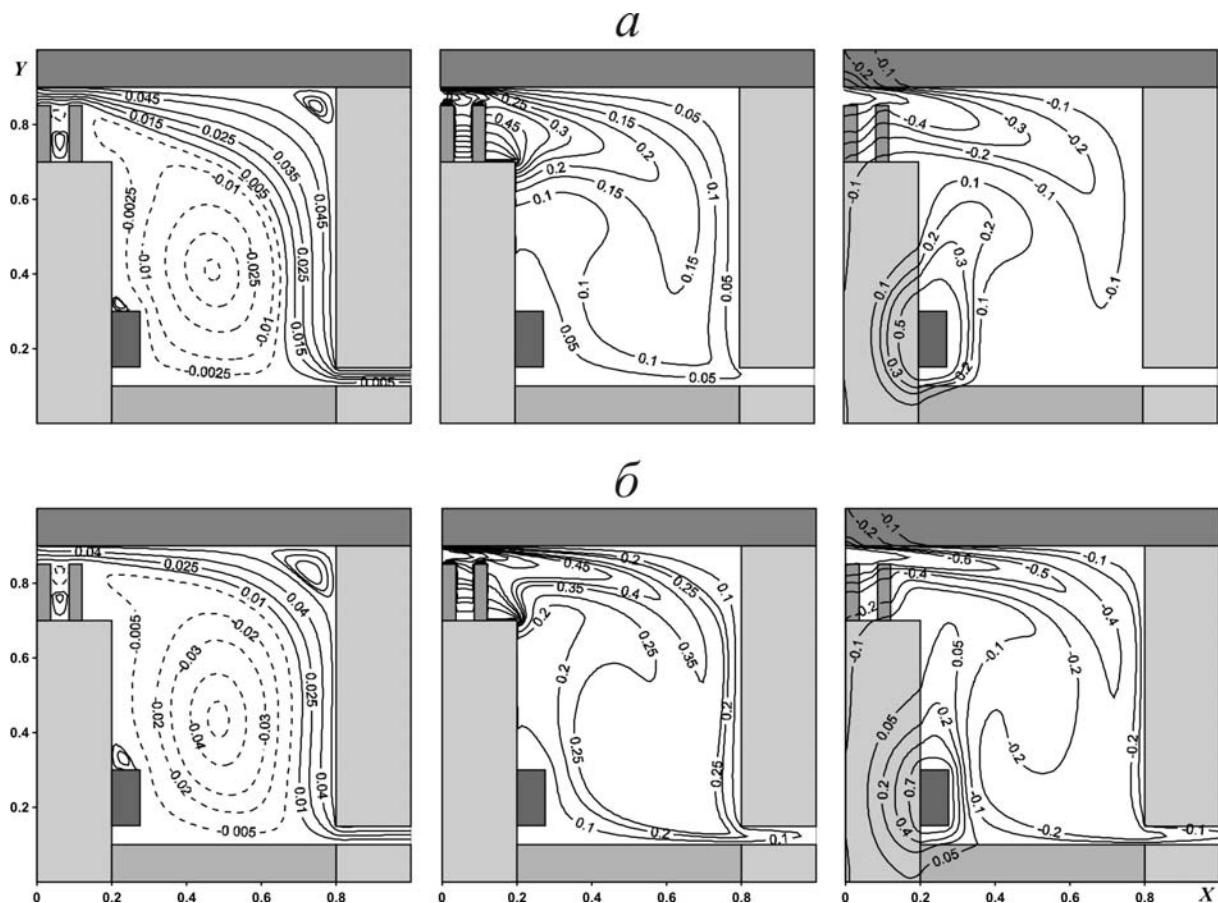


Рис 4. Типичные линии тока  $\Psi$ , поля концентрации  $\xi$  и поля температуры  $\Theta$  при  $Gr = 10^5$ ,  $Br = 1$ ,  $\tau = 100$ :  $Re = 300$  – *a*,  $Re = 900$  – *б*

В случае же  $Gr = 10^5$ ,  $Br = -5$  при  $Re = 300$  в газовой полости формируется достаточно интересный режим течения. Внешнее вынужденное течение прижимается к внутренней границе левой стенки и, образуя нисходящий поток, спускается у источника тепловыделения. При этом в полости образуется конвективная ячейка над вынужденным течением. Поля концентрации и температуры формируются в соответствии с полем скорости – примесь и фронт пониженной температуры распространяются также вдоль левой стенки к источнику тепла. При этом фронт пониженной температуры деформирует тепловой факел от источника тепловыделения, изменяя направление распространения тепловой энергии от нагревателя. Увеличение числа Рейнольдса приводит к более устойчивому режиму течения, который характеризуется наличием конвективной ячейки под трубкой тока вынужденного течения.



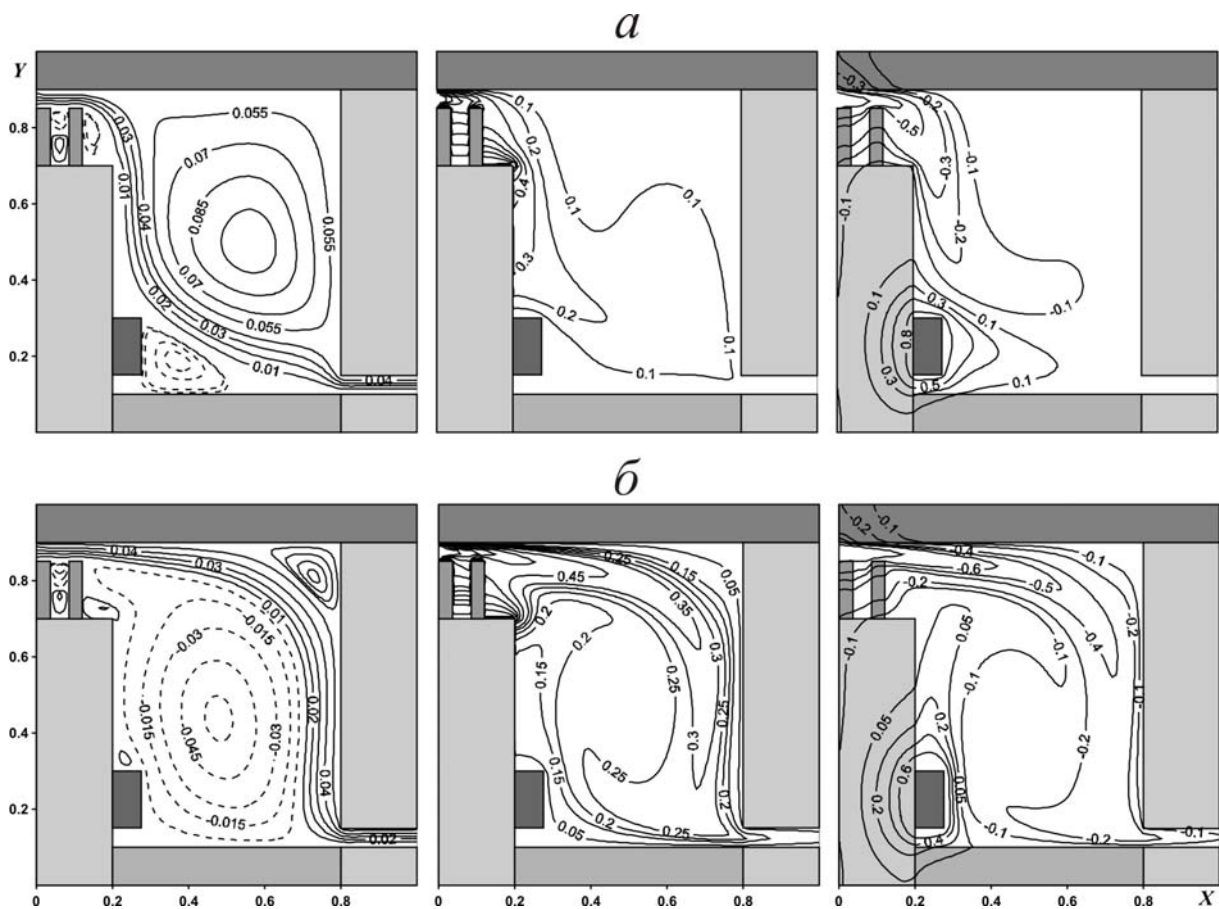


Рис 5. Типичные линии тока  $\Psi$ , поля концентрации  $\xi$  и поля температуры  $\Theta$  при  $Gr = 10^5$ ,  $Br = -5$ ,  $\tau = 100$ :  $Re = 300 - a$ ,  $Re = 900 - б$

### Заключение

Проведено математическое моделирование сопряженной конвекции в прямоугольной области при наличии внутреннего массопереноса в условиях конвективно-радиационного теплообмена на одной из внешних границ. Результаты получены для достаточно широкого диапазона изменения определяющих комплексов  $10^4 \leq Gr \leq 10^7$ ,  $10^2 \leq Re \leq 10^3$ ,  $Pr = Sc = 0.7$ ,  $Br = -5, 1, 5$ . Показано существенное влияние внутреннего массопереноса как на локальные характеристики процесса переноса тепла, так и на структуру интегрального коэффициента теплообмена. Установлены масштабы влияния выталкивающей силы на формирование определенных режимов течения. Определена роль источников тепла и примеси в процессе сопряженного тепломассопереноса.

Работа выполнена при финансовой поддержке РФФИ и Администрации Томской области (№ 05-02-98006 конкурс p\_объ\_a).

### Литература

- [1] Дульнев Г.Н. Тепло- и массообмен в радиоэлектронной аппаратуре. М.: Высшая школа, 1984. 247 с.
- [2] Варламов Р.Г. Краткий справочник конструктора радиоэлектронной аппаратуры. М.: Советское радио, 1973. 856 с.

- [3] Qi-Hong Deng, Guoqiang Zhang Indoor air environment: more structures to see? *Building and Environment*. 2004. Vol. 39. pp. 1417–1425.
- [4] Qi-Hong Deng, Jiemin Zhou, Chi Mei, Yong-Ming Shen Fluid, heat and contaminant transport structures of laminar double-diffusive mixed convection in a two-dimensional ventilated enclosure. *Int. J. Heat and Mass Transfer*. 2004. Vol. 47. pp 5257–5269.
- [5] Костылев И.И. Подогрев груза на танкерах. Л., 1976. 104 с.
- [6] Джалурия Й. Естественная конвекция: Тепло- и массообмен. М.: Мир, 1983. 400 с.
- [7] Bejan A. *Convection heat transfer*, Wiley, New York, 2004, 728 p.
- [8] Лыков А.В. Теория теплопроводности. М.: Высшая школа, 1967. 600 с.
- [9] Самарский А.А. Теория разностных схем. М.: Наука, 1977. 656 с.
- [10] Березин И.С., Жидков Н.П. Методы вычислений. М.: Физматгиз, 1962. Т. 2. 620 с.
- [11] Пасконов В.М., Полежаев В.И., Чудов Л.А. Численное моделирование процессов тепло- и массообмена. М.: Наука, 1984. 288 с.
- [12] Роч П. Вычислительная гидродинамика. М.: Мир, 1980. 616 с.
- [13] Тарунин Е.Л. Вычислительный эксперимент в задачах свободной конвекции. Иркутск: Изд-во Иркут. ун-та, 1990. 225 с.
- [14] Liaqat A., Baytas A.C. Conjugate natural convection in a square enclosure containing volumetric sources. *Int. J. Heat Mass Transfer*. 2001. Vol. 44. pp. 3273-3280.
- [15] Kaminski D.A., Prakash C. Conjugate natural convection in a square enclosure effect of conduction on one of the vertical walls. *Int. J. Heat Mass Transfer*. 1986. Vol. 29. pp. 1979-1988.